

5. BURRI C. und NIGGLI P., Die jungen Eruptivgesteine des mediterranen Orogens. Zürich 1945 - 1949.
 6. MARINOS ΓΕΩΡΓΙΟΣ, Ueber Geologie, Petrologie und Metallogenese des Ophiolitkomplexes in Ostgriechenland. Berg. u. Hütten. Mon. S. 101 Heft 2. Wien 1956, σ. 34 - 36.
 7. MOUSSOULOS L., Les gisements pyriteux du district minier d'Hermione. Ann. Géologiques des pays Helléniques 9, 1958, p. 119 - 164.
 8. NIGGLI P., Gesteine und Minerallagerstätten. Basel 1948.
 9. ROGERS and KERR, Optical mineralogy. London 1942.
 10. VAN DER KOODEN C., Optical studies on natural plagioclase etc. Utrecht 1951.
 11. WINCHEL A. and H., Elements of optical mineralogy. New York 1951.
-

ΚΟΙΤΑΣΜΑΤΟΛΟΓΙΑ.—‘Υπεργενετικὸς σχηματισμὸς ἀπατίτου εἰς Πάρνωνα Πελοποννήσου, ὑπὸ Μ. Περτέση καὶ Γ. Μαρίνου*’. Ἀνεκοινώθη ὑπὸ τοῦ κ. Μαξ. Μητσοπούλου.

Ο ἀπατίτης $\text{Ca}_5(\text{PO}_4)_3(\text{F},\text{Cl},\text{OH})$ εἶναι, ως γνωστόν, ὁρυκτὸν ποικίλης γενετικῆς προελεύσεως. Ἐν Ἑλλάδι ἡ παρουσία του σημειοῦται ἐντὸς τῶν πλείστων ἔκρηκτιγενῶν καὶ μεταμορφωμένων πετρωμάτων, ὑπὸ τὴν συνήθη μορφὴν μικροτάτων κρυσταλλικῶν ἐγκλεισμάτων, συνιστώντων σταθερὸν ἀλλὰ λίαν ἐπουσιῶδες ὁρυκτολογικὸν συστατικὸν τῶν ώς ἄνω πετρωμάτων, ἔξαιρέσει γλαυκοφανιτῶν τινῶν τῶν Κυκλαδῶν, ἔνθα οὐσιωδῶς οὔτος συμμετέχει ἐν αὐτοῖς (5).

Ως πρωτογενὲς ιζηματογενὲς κρυπτοκρυσταλλικὸν ἀνθρακικὸν καὶ φωσφορικὸν ἀσβέστιον, ἡτοι ως κολλοφανίτης $\text{Ca}_{10}(\text{PO}_4)_6(\text{CO}_3)_2\text{H}_2\text{O}$ ¹, εἶναι γνωστὸν τὸ ὁρυκτὸν τοῦτο εἰς τινας μειοκατικῆς ἡλικίας ἀσβεστολίθους καὶ μάργας Κεφαλληνίας, Κερκύρας καὶ Ἡπείρου (8, 3), συμμετέχον ὑπὸ μικράν ἕως ἐλαχίστην ἀναλογίαν. Πλούσιον κολλοφανιτικὸν ἀσβεστιτικὸν διτεοπαγὲς συγκολλητικὸν ὑλικὸν συναντᾶται συμπτωματικῶς ἐντὸς ρωγμῶν καὶ καρστικῶν κοιλοτήτων τῶν ἀσβεστολίθων, ὅπου ἔτυχε νὰ συγκεντρωθοῦν διταξία ζώνων (Ἄττική, Πελοπόννησος κλπ.).

Αφ’ ἔτερου ὑπεργενετικὸς σχηματισμὸς ἀποθέσεων φωσφορικῶν ὁρυκτῶν ἐνώσεων συμβαίνει εἰς καθολικὴν σχεδὸν κλίματα εἰς τὴν ἐπιφάνειαν τῆς γῆς ἐπὶ ἀσβεστολιθικῶν ίδιως ἐδαφῶν συνεπείᾳ βιοχημικῆς κυρίως δράσεως.

Εἰς τὰς ἐργασίας τοῦ McCONNEL καὶ ἄλλων (6, 7, 4) περιγράφονται περιπτώσεις καθ’ ἃς τὰ φωσφοροῦχα διαλύματα ἐκ τῶν ἐπιφανειακῶν ἀποθέσεων γιανο (εἰς

* M. PERTESSIS & G. MARINOS, Supergenetic formation of apatite in Parnon-Peloponnesus.

¹ Εἰς τὴν διάδα τοῦ κολλοφανίτου περιλαμβάνονται πλεῖστα ὁρυκτὰ παραπλησίας συνθέσεως καὶ προελεύσεως, ώς δαλίτης, φραγκολίτης, ποδολίτης, δδοντόλιθος κ.ἄ.

νήσους τοῦ Εἰρηνικοῦ), κατεισθύοντα προκαλοῦν υποκαταστάσεις καὶ ἐμποτισμὸν εἰς φωσφόρον τῶν υποκειμένων πετρωμάτων. Τὰ ἐν λόγῳ φωσφοροῦχα διαλύματα συνάγονται ἐκ τῶν ἀποτελεσμάτων αὐτῶν ὡς λίαν δραστικά, διαλύοντα κύρια πυριτικὰ δρυκτὰ τῶν ἡφαιστειογενῶν πετρωμάτων (ὅπως ἀστρίους καὶ πυροξένους), ἀντικαθιστάμενα διὰ νεοσχηματιζόμενων φωσφορικῶν ἑνώσεων ἀργιλλίου, σιδήρου ἐνίστε καὶ ἀσθεστίου.

Εἰς ἔτι εὔρυτέραν κλίμακα συμβαίνει ἐπιφανειακὴ φωσφοριτικὴ μετασωμάτωσις τῶν ἐν ἀποσαμρώσει ἀσβεστολίθων καὶ δολομιτῶν, τῶν καλυπτομένων ἀπὸ χαλαρὰ γεώδη ὄλικὰ καὶ χώματα. Ταῦτα συνιστοῦν τὴν συνήθη φυτικὴν γῆν, πλουσίαν εἰς δρυγανικὰς οὐσίας καὶ ἀπὸ τὰ υπόδοιπα τῆς διαλύσεως τῶν ἀσβεστολίθων. Ἐκ τῶν σχετικῶν παρατηρήσεων συνάγεται ὅτι ἐντὸς τοῦ ὑγροῦ ἐδάφους τὰ φωσφορικὰ ἰόντα καθίστανται ἵκανα μετακινήσεων καὶ υποκαταστάσεων χάρις εἰς διάφορα ἐδαφικὰ συστατικὰ ἐν οἷς καὶ τὰ Al(OH)_3 , Fe(OH)_3 καὶ NH_4 (7).

Παράδειγμα τῆς ὡς ἁνω φύσεως, ἦτοι ἀσβεστολίθων καὶ δολομιτῶν ἔξωτερικῶς τοπικῶς φωσφοριτικά μένων, ἔχομεν εἰς τὸ χωρίον Βιλλια Ἀττικῆς, παρὰ τὸ ἐκεῖ ὕψωμα Γέθθακος. Τούτου ἐλάβομεν γνῶσιν χάρις εἰς τὰς ἐρεύνας τοῦ κ. Θ. Τρικλώνου. Ἡ ἐκεῖ περιοχὴ τοῦ Κιθαιρῶνος συνίσταται κυρίως ἀπὸ ἀσβεστολίθους, δολομιτικούς ἀσβεστολίθους καὶ γνησίους δολομίτας, ὄλικίας τριαδικῆς ἔως ιουρασικῆς. Οἱ ἐκ τούτων δολομῖται εἶναι περίπου τῆς συστάσεως CaCO_3 57% καὶ MgCO_3 43%. Εἰς τὰ σημεῖα τῆς ἐπιγενοῦς φωσφοριτικώσεως, τὰ πλουσιώτερα εἰς φωσφορίτην τμήματα ὑπάρχουν εἰς μίαν λεπτοτάτην ἔξωτάτην στοιβάδα τοῦ ἀνθρακικοῦ πετρώματος ἢ εἰς μικρὰ τεμάχια τούτου υπολειφθέντα ἐντὸς τοῦ στρώματος ἀποσαμρώσεως. Πρὸς τὸ ἔσωτερικὸν τοῦ πετρώματος ἢ περιεκτικότης εἰς φωσφόρον ἀποσβέννυται ταχέως. Ἀπὸ ποσοτικῆς καὶ πρακτικῆς πλευρᾶς ἡ φωσφορικὴ αὐτὴ μετασωμάτωσις φαίνεται ἀνεύ ἐνδιαφέροντος. Ἀπὸ τὰ ἀποτελέσματα τῶν γενομένων χημικῶν ἀναλύσεων¹ ἐπὶ δειγμάτων τῶν Βιλλίων, ἔξαγονται αἱ κάτωθι συνθέσεις:

	$\text{Ca}_3(\text{PO}_4)_2$	Ca CO_3	Mg CO_3	F
Δεῖγμα 1	68%	21%	1%	2,15%
Δεῖγμα 2	80	9	1	1,40
Δεῖγμα 3	36	47	10	0,80
Δεῖγμα 4	21	50	22	0,42
Δεῖγμα 5	8			

Εἰς τὴν προαναφερθεῖσαν περίπτωσιν, καὶ ἔτι γενικώτερον, πρόκειται περὶ ὑπεργενετικοῦ σχηματισμοῦ ἀνθρακικοῦ φυσιοταπατίου ὑπὸ τὴν ἄμορφον (δηλαδὴ τὴν κρυπτοκρυσταλλικὴν) κατάστασιν, τὴν τοῦ συνήθους φωσφορίτου, καὶ οὐχὶ τὴν τοῦ

¹ Εἰς τὰ Χημεῖα Ἐταιρίας Λιπασμάτων, Ὑπουργείου Βιομηχανίας καὶ Σ. Βραχάμη.

κρυσταλλικού μὴ ἀνθρακικοῦ ἀπατίτου (τοῦ εἰς διαμορφωμένα κρυσταλλίδια ἔξαγωνης συμμετρίας), διστις ὑπογενετικῶς πρωταρχικῶς σχηματίζεται εἰς τὰ ἐκρηξιγενῆ καὶ μεταμορφωμένα πετρώματα.

Ἡ δευτέρα αὐτὴ περίπτωσις συνηντήθη ἐπὶ τοῦ ὅρους Πάρνωνος εἰς Λακωνίαν, παρέχουσα τοῦτο τὸ ἀσύνηθες τουλάχιστον, ὅτι, καίτοι πρόκειται περὶ ἐπιγενοῦς φωσφορικοῦ ἀσβεστίτου δημιουργηθέντος ὑπεργενετικῶς ἐντὸς τοῦ ἐδάφους, τοῦτο συνιστᾶ γνήσιον κρυσταλλικὸν φθοριαπατίτην καὶ οὐχὶ ὑποκρυσταλλικὸν ἀνθρακικὸν φθοριαπατίτην (κολλοφανίτην).

Ἡ ἐν λόγῳ θέσις κεῖται ἐπὶ τοῦ ὑψηλοῦ Πάρνωνος, εἰς ὥψος 1285 μέτρων, ἐπὶ κλιτύος αὐχένος τῆς νοτίας πλευρᾶς τοῦ ὑψώματος Ψηλῆ Ράχη καὶ παρὰ τὴν τοποθεσίαν Παληόρογγο. Κατ' εὐθεῖαν ἀπέχει βορείως τοῦ χωρίου Βαμβακοῦ περὶ τὰ 5 χιλιόμετρα, εἴναι δὲ παρὰ τὸ ὅριον τοῦ Νομοῦ Λακωνίας πρὸς Ἀρκαδίαν.

Τὰ πετρώματα τῆς περιοχῆς αὐτῆς ἀνήκουν ὅλα εἰς τὸ ἡμιμεταμορφωμένον σύστημα τοῦ Πάρνωνος. Πρόκειται κυρίως περὶ φυλλιτῶν ἢ σχιστολίθων περικλειόντων φακοὺς ἀπὸ χαλαζίαν μὲ σιδηρίτην, χλωρίτην, ἐπίδιοτον. Ἐντὸς τοῦ συστήματος τῶν φυλλιτῶν συνυπάρχουν διαστρώσεις ἢ μεγάλαι τράπεζαι ἐκ πλακωδῶν κρυσταλλικῶν ἀσβεστολίθων—περίου μαρμάρων—τῶν ὁποίων τὰ στρώματα ἐναλλάσσονται συχνότατα μετὰ φυλλιτικῶν στρωμάτων, ίδιως εἰς τὴν βάσιν τῶν περὶ ὅν διόγος ἀσβεστολιθικῶν τραπεζῶν, ὡς συμβαίνει καὶ εἰς τὴν προκειμένην περίπτωσιν. Προσέτι ἐντὸς τῶν φυλλιτῶν, ὃσον καὶ ἐντὸς τῶν πλακωδῶν ἀσβεστολίθων, ἐνυπάρχουν λεπτὰ μεμονωμένα συνεχῆ στρώματα ἐκ λευκοῦ χαλαζίτου, πάχους γενικῶς μικροτέρου τοῦ ἐνὸς μέτρου. Πρόκειται σαφῶς περὶ ίζηματογενοῦς χαλαζίτου, ἐκπροσωποῦντος φυλλιτικὰς διαστρώσεις πτωχοτάτας εἰς σερικίτην.

Ἡ μικροσκοπικὴ ἔξέτασις τοῦ χαλαζίτου τούτου ἀποκαλύπτει ὅτι, τὸ πέτρωμα συνίσταται κατὰ 90 % ἀπὸ διαυγεῖς κόκκους χαλαζίου καὶ κατὰ δεύτερον λόγον ἀπὸ ἀραιοὺς ἀκανονίστους κόκκους ἔξι ἀσβεστίτου, πρωτογενοῦς προελεύσεως. Εἰς μικρὰν ἀναλογίαν συμμετέχουν σερικίτης, χλωρίτης, ἐπίδιοτον καὶ ἀρκετοὶ μικροὶ διάσπαρτοι κρύσταλλοι σιδηροπυρίτου ὀξειδωμένου.

Τὰ στρώματα γενικῶς διευθύνονται ΒΔ - Δ καὶ κλίνουν βορείως. Ἐπὶ τῶν πετρωμάτων τῆς ἐν λόγῳ θέσεως ὑφίστανται ὡς ἐπιφανειακοὶ ἀρτίγονοι σχηματισμοὶ ἀφ' ἐνὸς ἢ ἔξι ἀργίλλου κλπ. φυτική γῆ καὶ ἀφ' ἑτέρου ἀσυνεχῆ στρωματίδια καὶ φλοιοὶ ἐκ τοῦ συνήθους ἐπιφανειακοῦ ἐκ καθιζήσεως καστανοκιτρινίζοντος συγκριματικοῦ ἀσβεστολιθικοῦ πάρου (Sinterkalk), περικλειόντος τεμάχια τῶν διαφόρων πετρωμάτων. Τὸ πάχος τῶν ἐπιφανειακῶν αὐτῶν σχηματισμῶν εἴναι μικρὸν μέχρις δλίγων μέτρων, εἰς πλειστα δὲ σημεῖα τὸ ὑπέδαφος ὑφίσταται ἀκάλυπτον. Ἀπὸ ἀλλης πλευρᾶς τὸ ἔδαφος ὑγραίνεται συνεχῶς κατὰ τὸν χειμῶνα ἀπὸ βροχᾶς καὶ χιόνας, ἀπὸ τῆς θέσεως δὲ αὐτῆς ἀρχίζει ἀραιόν δάσος ἐλάτης.

‘Η ύπὸ μελέτην συγκέντρωσις τοῦ ἀπατίτου εὑρίσκεται ἐντὸς τοῦ ἔδαφικοῦ



Εἰκ. 1. Ἡ θέσις ἐμφανίσεως τοῦ ἀπατίτου Πάργωνος. Ἡ συγκέντρωσις τοῦ ὑλικοῦ εἰς τὸ ἄκρον τοῦ μέλαρος βέλους ἐντὸς τῆς φυτικῆς γῆς τῆς κλιτύος. Τὸ βραχῶδες πέτρωμα τῆς κλιτύος εἶναι κρυσταλλικὸς ἀσβεστόλιθος, εἰς τὰ χαμηλότερα τμήματα (ἔνθα οἱ ἀγροὶ) οἱ φυλλῖται.



Εἰκ. 2. Ἡ ίδια ἐμφάνισις τοῦ ἀπατίτου, τῆς εἰκ. 1, ἀπὸ ἐγγύτερον σημεῖον. Ὁ ἀπατίτης εἰς τὰ δύο λευκὰ τμήματα (Φ).

στρώματος ἐκ χωμάτων καὶ κορημάτων τῆς κλιτύος, ἀποκαλυπτομένη εἰς τὴν ἀβαθῆ τομῆν μονοπατίου (Εἰκ. 1 καὶ 2). Παρατηροῦνται, ἐν εἴδει λευκῶν κηλίδων, δύο κύρια

παραπλήσια τμήματα ἐκ λευκῆς ύποκιτρίνου ύφους εύθρυπτου μαλακῆς μάζης, ἀμμώδους ἀφῆς. Ἐχουν μορφὴν περίπου στρωματοφακοειδῆ μὲ ἀσαφῆ δρια καὶ ἐπιφάνειαν τομῆς ἔκαστον περὶ τὰ 0,25 τοῦ τετραγ. μέτρου.

Ἡ χημικὴ ἔξέτασις τῆς κόνεως αὐτῆς ἀποδεικνύει τὴν ὑπαρξίν περίπου 90% φωσφορικοῦ φθοριούχου ἀσβεστίου, ὡς ἐμφαίνεται εἰς τὸν Πίνακα I.

ΠΙΝΑΚΑΣ I
Χημικαὶ ἀναλύσεις ἀπατίτου Βαμβακοῦ Λακωνίας.

	1	2	3	4	5 ¹
CaO	51.75				
P ₂ O ₅	37.17	37.43	36.27	36.21	38.50
F	2.06	3.43	3.40	3.21	
CO ₂	0.30				
+ H ₂ O	0.85				
- H ₂ O	0.36	0.77	0.96	0.89	—
SiO ₂	2.57	5.16	5.88	6.88	
TiO ₂	0.04				
SO ₃	0.58				
SrO	0.77				
MnO	0.48				
Fe ₂ O ₃	0.11				
Al ₂ O ₃	0.20				
MgO	0.73				
Na ₂ O	0.74				
K ₂ O	0.34				
	99.05				
Ca ₃ (PO ₄) ₂	81.40	81.78	79.24	79.08	84.12

1. Ἀνάλυσις M. Περτέον.

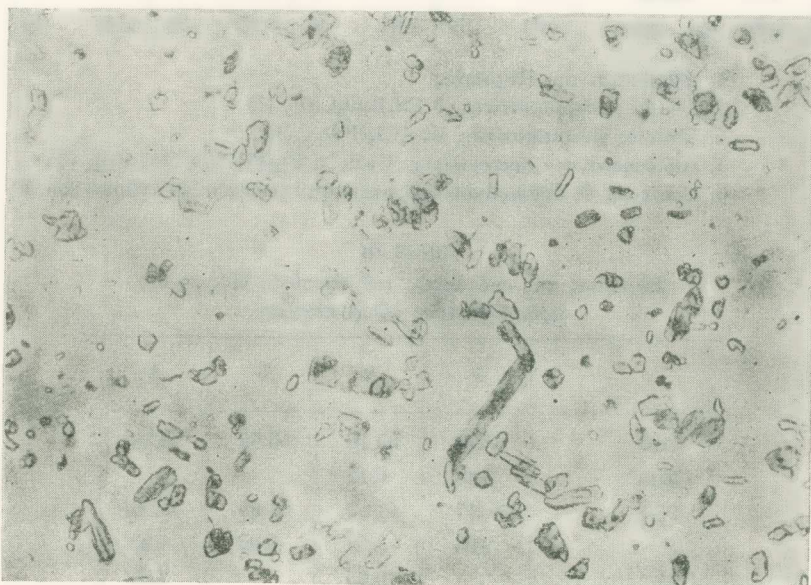
2 - 5. Ἀναλύσεις Χημείου Ἐταιρίας Λιπασμάτων.

Ὕπὸ τὸ μικροσκόπιον ἡ λεπτὴ λευκὴ κόνις ἀναλύεται εἰς μικροσκοπικώτατα πρισματίδια ἐκ διαυγοῦς ἀπατίτου, ἀσύνδετα μεταξύ των. Ἡ σμικρότης των δυσχεραίνει τὴν λεπτομερῆ διπτικὴν μελέτην, τὰ θεμελιώδη ὅμως χαρακτηριστικὰ γνωρίσματα τῶν κρυστάλλων τοῦ ἀπατίτου πιστοποιοῦνται πλήρως, ἥτοι ἡ κρυσταλλικὴ μορφὴ (εἴδραι πρίσματος καὶ πινακοειδοῦς), ἡ ἴσχυρὰ θλαστικότης, ἡ λίαν ἀσθενῆς διπλοθλαστικότης καὶ ὁ διπτικὸς ἀρνητικὸς χαρακτήρ. Τὸ μῆκος ἔκαστον τῶν πρισματιδίων τούτων (Εἰκ. 3) ἀνέρχεται συνήθως περὶ τὸ 0,01 mm, ἐνίοτε ὅμως φθάνει

¹ Δεῖγμα ἄνευ ὑγρασίας. δίπλα νέοντας ορθογράφως. (εἰς τὸν ιστορικὸν κάτιον)

τὰ 0,05 mm. Διακρίνεται ἐπίσης καὶ σαφῆς προσανατολισμὸς τῶν πρισμάτων μεταξύ των.

Ἄλλὰ καὶ ὁ διὰ τῶν ἀκτίνων X προσδιορισμὸς ἄγει ἀκριβῶς εἰς τὸ αὐτὸ ἀποτέλεσμα, ἵτοι ὅτι πρόκειται περὶ κανονικοῦ φθοριαπατίτου. Ἐκ τῆς συγκριτικῆς ἐξετάσεως τῶν γραμμῶν καὶ τῶν ἐντάσεων τούτων τοῦ ἀκτινογραφικοῦ διαγράμματος Debye - Scherrer ἀποδεικνύεται (Πίναξ II) ὅτι ὁ ἀπατίτης τοῦ Πάρνωνος (ἀριθ. 1) ταυτίζεται μόνον πρὸς τὸν φθοριαπατίτην (ἀριθ. 2) καὶ οὐχὶ πρὸς τὸν χλωραπατίτην



Eἰκ. 3. Μικροφωτογραφία τῶν κρυσταλλίδων τοῦ ἀπατίτου Βαμβακοῦ Πάρνωνος, ἀραιωμένων ἐντὸς ὑδατος ὑπὸ ισχυρὰν μεγέθυνσιν (X 400).

(ἀριθ. 3) ἢ τὸν κολλοφανίτην - φραγκολίτην (ἀριθ. 4) ἢ τὸν ἐξ ἀνθρακικοῦ καὶ φωσφορικοῦ ἀνθρακικοῦ ἀσβεστίου μικτὸν ἀπατίτην (ἀριθ. 5) (ASTM, σελ. 205 - 216, 1).

Ἐν συνεχείᾳ ὁ Πίναξ III παρέχει σύγκρισιν τοῦ χημισμοῦ τῆς φωσφοριτικῆς αὐτῆς ὕλης τοῦ Πάρνωνος πρὸς γνωστοὺς καθαροὺς φθοριαπατίτας (2) καθὼς καὶ πρὸς τὸν θεωρητικὸν ἀπατίτην μὲ F : Cl : OH = 1 : 1 : 1. Ἡ ἐπὶ ἔλαττον διαφορὰ τοῦ πρώτου ἐξηγεῖται ἐκ τῆς μὴ ἐντελοῦς καθαρότητος εἰς ἀπατίτην. Όμοιως τὸ φαινομενικὸν εἰδικὸν βάρος τοῦ ὕλικοῦ τούτου εἶναι 2,95, πλησιάζον πρὸς τὸ ἀκριβές 3,1 - 3,2 τοῦ φθοριαπατίτου· καὶ ἐδῶ ἡ διαφορὰ ἔγκειται εἰς τὴν συνύπαρξιν ἀλλων οὐσιῶν καὶ εἰς τὸ λεπτοπορῶδες τῆς ὑφῆς.

Εὑρισκόμεθα λοιπὸν ἐνώπιον ἀσυνήθους περιπτώσεως, ἵτοι συγκεντρώσεως ἐν

ΠΙΝΑΞ ΙΙ

επι νοτέρηματα νότι ράμφων κυριαρχείσα πάντα με την απενίκητη παραδοσιακή παραγωγή της στην Ελλάς.

*Ακτινογραφικά διαγράμματα κόνεως.

*Ακτινοβολία Fe, ἀνευ ἡθμοῦ.

$2R = 57.32 \text{ mm.}$

(1) θερμ. ημέρας	1		2		3		4		5	
	d	I	d	I	d	I	d	I	d	I
2.81	Ισχ/τη	2.81	100	2.77	100	2.79	100	2.82	100	2.78
2.71	Ισχυρὰ	2.71	60	2.86	60	2.69	60	2.71	90	
1.85	Ισχ. - μέση	1.84	60	1.84	40	3.05	30	3.44	80	

- Φθοριαπατίτης Πάργνωνος.
- Τυπικὸς φθοριαπατίτης, $3 \text{ Ca}_3\text{P}_2\text{O}_8\text{CaF}_2$ (1).
- Τυπικὸς χλωριαπατίτης, $\text{Ca}_{10}\text{Cl}_2(\text{PO}_4)_6$ (1).
- Κολλοφανίτης - φραγκολίτης, $\text{CaF}(\text{Ca}, \text{C})_4[(\text{P}, \text{C})(\text{O}, \text{OH}, \text{F})]_3$ (1).
- *Απατίτης ἐξ ἀνθρακικοῦ ἀσβεστίου καὶ φωσφορικοῦ ἀνθρακικοῦ (1).

ΠΙΝΑΞ ΙΙΙ

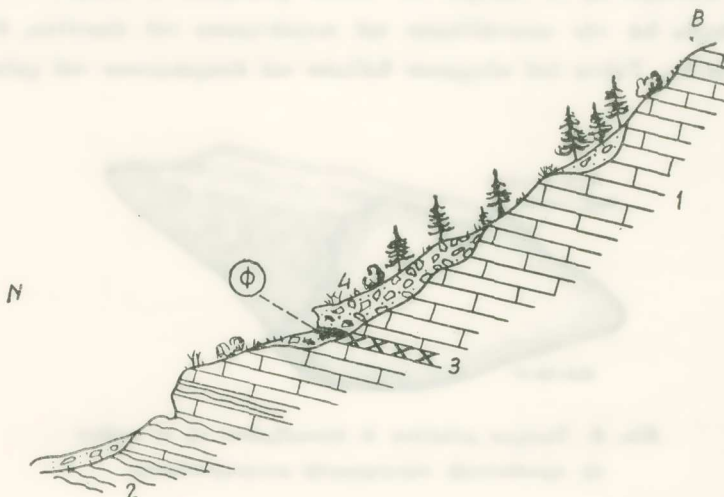
Σύγκρισις τῆς συστάσεως τοῦ ἀπατίτου Πάργνωνος
πρὸς γνωστοὺς φθοριαπατίτας.

	1	2	3	4
CaO	51.75	55.16	55.59	55.38
MnO	0.48	0.12		
P ₂ O ₅	37.17	41.30	41.95	42.06
F	2.06	3.67	3.02	1.25
Cl		0.09		2.33
H ₂ O	0.85	0.01		0.56
CO ₂	0.30	0.50	Ϊχνη	
ὑπόλοιπον	6.44	1.29	0.33	
	99.05	102.14	100.89	101.58
O=F, Cl		1.56		1.58
Σύνολον		100.58		100.00

1. Φθοριαπατίτης Πάργνωνος. *Υπόλοιπον: — H₂O 0,36,
MnO 0,07, SiO₂ 2,57, TiO₂ 0,04, SO₃ 0,58, Sr 0,77, Fe₂O₃ 0,11,
Al₂O₃ 0,20, MgO 0,73, Na₂O 0,74, K₂O 0,34.
2. Φθοριαπατίτης, Faraday Township, Ontario (2).
*Υπόλοιπον: FeO 0,14, Ee₂O₃ 0,63, Al₂O₃ 0,24.
3. Φθοριαπατίτης Sankt, Styria (2). *Υπόλοιπον: FeO 0,08,
MgO Ϊχνη, ἀδιάλυτα 0,02, ἀπώλεια πυρόσεως 0,23.
4. Ca₅(PO₄)₃(F, Cl, OH) μὲ F; Cl: OH = 1:1:1 (2).

τῷ ἐδάφει κρυσταλλικοῦ φθοριαπατίτου καὶ οὐχὶ συνήθους κολλομόρφου κρυπτοκρυσταλλικοῦ ἀνθρακικοφωσφορικοῦ κολλοφανίτου. Ἡδη προβάλλει ἐν συνεχείᾳ τὸ θέμα τῆς προελεύσεως.

Ἐκ τῶν παρατηρήσεων ἀγόμεθα εἰς τὸ συμπέρασμα ὅτι ἡ συγκεντρωσις τοῦ ἀπατίτου συσχετίζεται πρὸς τὴν ὑπαρξίν μιᾶς ἐκ λευκοῦ χαλαζίτου διαστρώσεως, παρεμβαλλομένης μεταξὺ τῶν στρωμάτων τοῦ πλακώδους ἀσβεστολίθου τῆς θέσεως αὐτῆς, ὥπως εἰς τὴν τομὴν τῆς Εἰκ. 4, παρίσταται. Αἱ συγκεντρώσεις τοῦ ἀπατίτου κείνται ὑπεράνω καὶ κατὰ μῆκος τῆς χαλαζίτικης αὐτῆς λωρίδος.



Εἰκ. 4. Σχηματικὴ τομὴ τοῦ ἐδάφους εἰς τὴν θέσιν τοῦ ἀπατίτου Πάρνωνος.

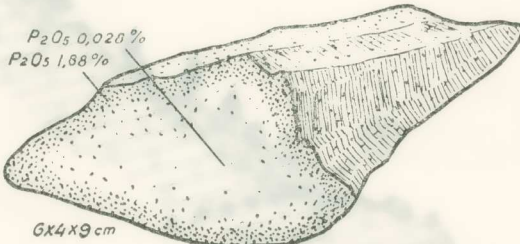
1. Κρυσταλλικὸς ἀσβεστολίθος. 2. Φυλλίτης. 3. Ἐγερωσις ἐκ λευκοῦ χαλαζίτου ἐντὸς τοῦ ἀσβεστολίθου. 4. Ἐπιφανειακὰ χαλαρὰ ὄλικὰ τῶν κλιτύνων (χώματα, κορήματα). Φ. Συγκεντρώσεις γεηροῦ ἀπατίτου.

Κατὰ τὴν ἀποσάθρωσιν καὶ φθορὰν τῶν πετρωμάτων, τὸ μάρμαρον διαλύεται καὶ διαχωρίζεται εἰς τεμάχια, ὃ δὲ φυλλίτης καὶ ὁ χαλαζίτης ἀναλύονται ἐπίσης εἰς τεμάχια ἀποσαθρούμενα, τὰ ὅποια κατατρίβονται τελικῶς εἰς ἀμμώδη ἔργιλλον. Εἰδικῶτερον ὁ χαλαζίτης κατόπιν διαλύσεως τοῦ ἐντὸς αὐτοῦ διασπάρτου ἀσβεστίτου καὶ δέειδύσεως τοῦ σιδηροπυρίτου, κατατρίβεται εἰς λεπτομερῆ ὑποκιτρίνην χαλαζίακήν ἄμμον.

Ἐκ τῶν προαναφερθέντων πετρωμάτων τοῦ ὑπεδάφους, οὐδὲν περιέχει ἀξιόλογον ποσότητα φωσφόρου, ὑπερβαίνουσαν τὰ συνήθη ὅρια. Καὶ ὃ ἐν λόγῳ λευκὸς χαλαζίτης εἰς τὰ ἀναλλοίωτα τμήματα αὐτοῦ, δίδει P_2O_5 0,019 - 0,026 %. Τὸ μάρμαρον ὁμοίως, περιέχει μόνον εἰς τὰ ἐπιφανειακὰ σαθρὰ τμήματα αὐτοῦ P_2O_5 0,138 %.

Άλλα και ό επιφανειακός άρτιγονος ασβεστολιθικός πώρος (Sinterkalk) ένιστε μόνον παρέχει ασθενή θετικήν αντίδρασιν εἰς φωσφόρον.

Καταλήγομεν έπομένως εἰς τὸ νὰ δεχθῶμεν, ὅτι ἐντὸς τῶν ἐπιφανειακῶν ύλικῶν τῆς ἔκει κλιτύος (προερχομένων ἐπιτοπίως ἐκ τοῦ ἀποσαθρουμένου ὑπεδάφους κυρίως), ό δλίγος εἰς ἀναλογίαν ἀρχικός φωσφόρος τῶν πετρωμάτων, προσαυξανόμενος ὑπὸ τῶν κατερχομένων ἐδαφικῶν διαλυμάτων τῆς κλιτύος, ἐνεπλούτισε τὴν φυτικὴν γῆν, τῇ συνεργείᾳ τῶν φυτικῶν καὶ ζωϊκῶν παραγόντων, εἰς τὸν βιοχημικὸν κύκλον τῶν ὄποιων καὶ συμμετέχει. Κατόπιν δὲ καὶ ἐκ παραλλήλου τὰ φωσφοροῦχα ἐδαφικὰ διαλύματα ἐπέτυχον εἰς τὰ τεμάχια τοῦ λευκοῦ χαλαζίτου νὰ ἀνεύρουν τὸν κατάληγον ὑποδοχέα διὰ τὴν κρυστάλλωσιν καὶ συγκέντρωσιν τοῦ ἀπατίτου, ἀνευ συνηπάρξεως CaCO_3 . Ταῦτα ὑπὸ σύγχρονον διάλυσιν καὶ ἀπομάκρυνσιν τοῦ χαλαζίου.



Εἰκ. 5. Τεμάχιον χαλαζίτου ἐν ἀποσαθρώσει· εἰς τὸ στάδιον τῆς προοδευτικῆς περιφερειακῆς φωσφοριτώσεως.

Ἐνισχυτικὰ τῆς ὡς ἄνω ἀπόψεως εἶναι τὰ κάτωθι:

Εἰς τὴν θέσιν τῶν φωσφοριτῶν, ἐντὸς τῆς φυτικῆς γῆς καὶ εἰς τὴν ἴδιαν γραμμὴν μὲ τούτους, ὑπάρχουν ἐντὸς τοῦ χώματος διάφορα τεμάχια ἐκ τῶν πετρωμάτων τοῦ ὑπεδάφους. Ἐκ τούτων τὰ ἐκ τοῦ λευκοῦ χαλαζίτου τεμάχια παρέχουν, ἀναλυόμενα, περιεκτικότητα εἰς φωσφόρον, αὐξανομένην μετὰ τοῦ βαθμοῦ ἀποσαθρώσεως τοῦ πετρώματος. Δείκτης δὲ τῆς ἀποσαθρώσεως εἶναι τὸ εὔθρυπτον καὶ ἡ κιτρίνη χρώσις. Δύο τοιαῦτα σαμπρὰ χαλαζιτικὰ τεμάχια, διατηροῦντα ὅμως τὸ σχῆμα αὐτῶν καὶ ἵκανήν εἰσέτι συνοχήν, ἔδωσαν P_2O_5 1,58 καὶ 1,03. Ἀλλο τεμάχιον ἐσωτερικῶς μὲν ἀναλλοίωτον (λευκὸς χαλαζίτης), ἐξωτερικῶς δὲ περιφερειακῶς ἥμίσαθρον (Εἰκ. 5) ἔδωσεν ὡς ἔξης: Ὁ πυρὴν P_2O_5 0,028 (ἥτοι τὴν συνήθη περιεκτικότητα, βλ. προηγουμένως), ὁ κιτρινίζων φλοιὸς P_2O_5 1,88 %.

Ἀκόμη πλησιέστερον πρὸς τὴν γενηράν συγκέντρωσιν τοῦ ἀπατίτου ἡ φυτικὴ γῆ συνίσταται ἀπὸ μέγαν ἀριθμὸν μικρῶν τεφροκιτρίνων τεμαχιδίων τοῦ ἐν

λόγω χαλαζίτου ἐντελῶς ἀποσαθρωμένων, ἀναμίκτων μὲ πλαστικὴν τεφρὰν ἄργιλλον καὶ ρίζας τῶν χόρτων. Δεῖγμα τοῦ χώματος τούτου ἔδωσε τὴν κάτωθι σύστασιν.

SiO ₂	49,89 %	P ₂ O ₅	13,01
Al ₂ O ₃	5,85	CO ₂	0,12
Fe ₂ O ₃	3,40	+ H ₂ O	5,00
MnO	0,09	- H ₂ O	1,91

Ἡ περιεκτικότης εἰς P₂O₅ ἀντιστοιχεῖ εἰς Ca₃(PO₄)₂ 28,5 %. Πρόκειται συνεπῶς περὶ ἐνδιαμέσου βαθμίδος πρὸς τὴν πλουσιωτέραν ἐξ ἀπατίτου συγκέντρωσιν.

Αὐτονόητον ὅτι ἡ βάσει τῶν χημικῶν καὶ ὀρυκτολογικῶν κριτηρίων διδομένη ἑρμηνεία περιλαμβάνει ἀπλῶς τὸ σύνολον τῆς πορείας τοῦ φαινομένου.

‘Οπωσδήποτε ὅμως εἶναι ἐκ τῶν πραγμάτων ἀνερμήνευτος ἡ δημιουργία ἐκεῖ τοῦ ἀπατίτου δι’ ἄλλης ὁδοῦ, εἰμὴ μόνον ὑπὸ τῶν ὑπεδαχφικῶν διαλυμάτων (vadose).

Τὰ διαλύματα τὰ προκαλέσαντα τὴν φωσφοριτίωσιν ταύτην θὰ ταυτίζωνται ἡ θὰ συγχρονίζωνται μὲ τὰ διαλύματα τῆς διαλύσεως καὶ ἀπομακρύνσεως τοῦ πυριτίου καὶ τοῦ ἀσβεστίου. “Οπως παρατηρεῖ ὁ McCONNEL (βλ. ἐν ἀρχῇ), κατὰ τὴν ὑπεργενετικὴν φωσφοριτίωσιν τῶν λαβῶν τοῦ Εἰρηνικοῦ, ὑπὸ τὰ γυαπο, θὰ πρέπῃ γενικῶς νὰ ἐπιτελῆται πλήρης διάλυσις καὶ ἀπομάκρυνσις τοῦ SiO₂, ἐκ παραλλήλου πρὸς τὴν φωσφοριτίωσιν, ἀποδεικνύει δὲ τοῦτο προκειμένου περὶ τῶν ἀστρίων καὶ τῶν πυροξένων, ἀμφιβάλλει ὅμως ἐὰν συμβαίνῃ τὸ ἴδιον καὶ διὰ τὸν χαλαζίαν. Τὸ τελευταῖον ὅμως αὐτὸ σημεῖον καθίσταται προφανὲς εἰς τὴν περίπτωσιν τοῦ ἀπατίτου τοῦ Πάρνωνος μὲ τὴν ἐπὶ πλέον παρατήρησιν ὅτι προκύπτουν κρυσταλλικὰ ὀρυκτολογικὰ προϊόντα (εἰς τὸ τελικὸν τουλάχιστον αὐτῶν στάδιον) καὶ οὐχὶ κολλοειδῆ τοιαῦτα.

“Αλλαι ἐμφανίσεις συγκεντρώσεων ἀπατίτου εἰς τὴν ἴδιαν περιοχὴν δὲν παρετηρήθησαν, χωρὶς νὰ ἀποκλείεται βεβαίως ἡ ὑπαρξίας των ἐντὸς τοῦ ἔδαφους ἐκεῖ καὶ ἀλλαχοῦ. Ἀπὸ ποσοτικῆς καὶ πρακτικῆς πλευρᾶς αἱ ἐν λόγῳ συγκεντρώσεις ἀπατίτου εἶναι ἄνευ ἐνδιαφέροντος.

(Τὸ ἐργαστηριακὸν μέρος τῆς ἐργασίας ἔξετελέσθη εἰς τὴν Γεωχημικὴν *Υπηρεσίαν τοῦ *Υπουργείου Βιομηχανίας καὶ εἰς τὸ Ἰνστιτούτον Γεωλογίας. Εἰς τὴν δ. A. Σπαθῆ καὶ τὸν κ. B. Ἀνδρούποντον, βοηθήσαντας εἰς τὴν τεχνικὴν καὶ ἐργαστηριακὴν ἐργασίαν, ἐκφράζονται εὐχαριστίαι).

S U M M A R Y

On the mount of Parnon, near the village of Vamvakou - Lakonia in Peloponnesus, aggregation of apatite have been studied, which is formed supergenetic into the ground (soil) coming from the weathering of the surface of rocks. The chemical, optical and by the X-Rays analysis, has proved that the question about is normal crystalline fluor-apatite and not

cryptocrystalline carbonate phosphorite (collophane e.t.c.) as regularly the second happens during the supergenesis.

In continuation, the conditions of the genesis of this apatite, are discussed.

ΒΙΒΛΙΟΓΡΑΦΙΑ

1. Alphabetical and Numerical Indexes of X - Rays Patterns ASTM 1953, Philadelphia, U.S.A.
2. DANA'S., The System of Mineralogy. New York 1951, p. 878 - 89.
3. I. Γ. Ε. Y., Δελτίον πεπραγμένων, ἀρ. 1, 2, 3. Ἀθῆναι 1955 - 57.
4. KLOCKMANN'S., Lehrbuch der Geologie. Stuttgart 1942.
5. ΚΤΕΝΑΣ Κ., Ὁρυκτογνωσία τῆς Ἑλλάδος. Ἀθῆναι, 1923.
6. McCONNELL D., Phosphatization at Malpeo Island, Colombia. *Bulletin of the Geol. Soc. of America*, **54**. New York 1943, p. 707 - 716.
7. RANKAMA K., SAHAMA T., Geochemistry. Chicago 1950.
8. SIMONELLI V., Di' un nuovo giacimento fosfatifero trovato nell' Isola di Cefalonia. *Acad. di Scienz. Ist. d. Bologna*, 1903 - 1904, p. 154.

ΘΕΩΡΗΤΙΚΗ ΦΥΣΙΚΗ.— On a problem of nonlinear mechanics. Part I, by **Dem. G. Magiros***. Ἀνεκουνώθη ὑπὸ τοῦ κ. Ἰωάνν. Σανθάκη.

1. Introduction

The behavior of an oscillatory system, which is linearly damped but in which the restoring force is of cubic type, is investigated. The forced system is governed by a differential equation with coefficients not necessarily small. The usefulness of the auxiliary coefficients has been pointed out in the author's previous publications [1], [2]. It is shown under which conditions the system may oscillate with frequency half of that of the external force, that is with «subharmonics of order $\frac{1}{2}$ ». The amplitudes of the subharmonics and their components, and the bounds for the amplitude of the external force, are found in terms of the coefficients of the basic differential equation. Also the regions are found in the $\frac{c_1}{c_3}$, I-plane, where we have subharmonics with two, one or neither amplitudes.

2. The amplitudes of the subharmonics

The basic differential equation of the system is :

$$(1) \quad \ddot{Q} + \bar{k}\dot{Q} + \bar{c}_1 Q + \bar{c}_2 Q^2 + \bar{c}_3 Q^3 = B \sin \omega t.$$

* ΔΗΜ. Γ. ΜΑΓΕΙΡΟΥ, 'Ἐπὶ προβλήματος τῆς μὴ γραμμικῆς μηχανικῆς. Μέρος Ι.